

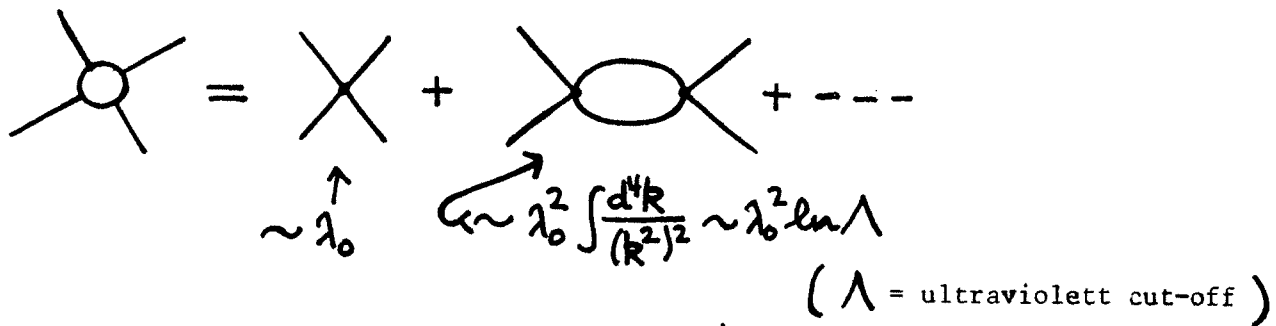
Illustrerende eksempel: Masselaus

ϕ^4

-teori:

Den "bare" Lagrangefunksjonen er:

$$\mathcal{L}_0 = \frac{1}{2} \partial_\mu \phi_0 \partial^\mu \phi_0 - \frac{\lambda_0}{4!} \phi_0^4 \quad (93)$$



Det renormaliserte feltet er $\phi = (Z_\phi)^{1/2} \phi_0$. Merk:

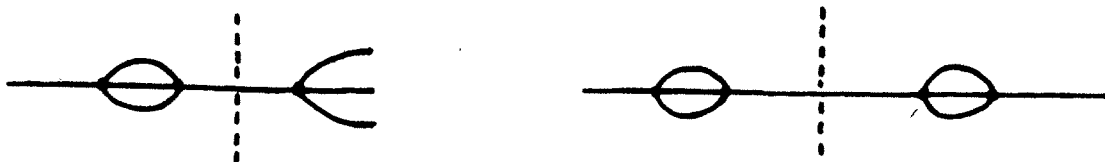
Trenger vilkårlig masseparameter μ for å få renormalisert teorien,
(trenger dimensjonslaust forhold $\frac{\Lambda}{\mu}$) slik at

$$Z_\phi = 1 + \frac{b_{all}}{\pi^2} \lambda_0^2 \ln \frac{\Lambda}{\mu} = Z_\phi(\lambda_0, \frac{\Lambda}{\mu}) \quad (94)$$

Tilsvarende er den renormaliserte kopplinga $\lambda = (Z_\lambda(\lambda_0, \frac{\Lambda}{\mu}))^{1/2} \lambda_0$.

Betrakter: Renormaliserte N-partikkels Greens-funksjoner som er 1PI (en partikel irreducible).

En-part redusibel: Kan deles i to diagram ved å kutte ei linje:



Irreducible diagram:



For irreducible diagram er

$$\Gamma^{(N)}(p_i, \lambda, \mu) = [Z_\phi(\lambda_0, \frac{\Lambda}{\mu})]^{N/2} \Gamma_0^{(N)}(p_i, \lambda_0, \Lambda) \quad (95)$$

hvor $\Gamma_0^{(N)}$ er den urenormaliserte 1PI N-partikkels Greensfunksjon.

I $\Gamma^{(N)}$ er (alle N) ytre propagatorer dividert ut;
dvs.: $\Gamma^{(2)}$ = invers propagator:

N-partikkels Greensfunksjon i impulsrommet $T^{(N)}(p_i)$:

$$(2\pi)^4 \delta^{(4)}(\sum_{j=1}^N p_j) T^{(N)}(p_1 \dots p_N) =$$

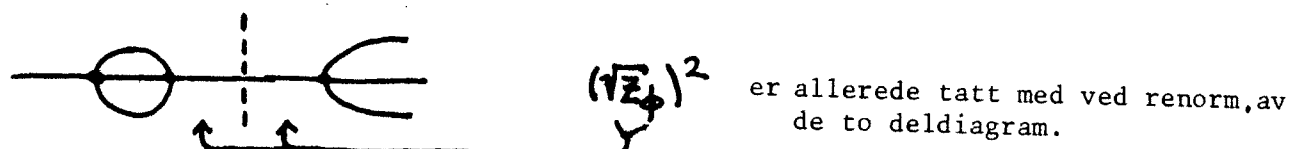
$$\int d^4x_1 \dots d^4x_N \exp[i \sum_{j=1}^N p_j x_j] \langle 0 | T \phi(x_1) \dots \phi(x_N) | 0 \rangle \quad (96)$$

La $\tilde{T}^{(N)}$ være den irreducibele delen av $T^{(N)}$. Vi har da

$$\Gamma^{(N)}(p_1 \dots p_N) = \frac{\tilde{T}^{(N)}(p_1 \dots p_N)}{\tilde{T}^{(2)}(p_1) \dots \tilde{T}^{(2)}(p_N)} \quad (97)$$

For 1PI er $\tilde{T}^{(N)} = (\sqrt{Z_\phi})^N \tilde{T}_0^{(N)}$ (Ved hjelp av (97) fås da (95)).

Dette gjelder ikke redusible diagram:



$\Gamma_0^{(N)} (= (\sqrt{Z_\phi})^{-N} \Gamma^{(N)})$ avhenger ikke av μ . Vi finner da:

$$0 = \frac{d}{d\mu} \Gamma_0^{(N)} = (\sqrt{Z_\phi})^{-N} \left\{ \frac{\partial}{\partial \mu} + \frac{\partial \lambda}{\partial \mu} \frac{\partial}{\partial \lambda} - N \frac{\partial}{\partial \mu} (\ln \sqrt{Z_\phi}) \right\} \Gamma^{(N)}$$

Vi multipliserer med μ for å få størrelser uten dimensjon inni parentesen $\{ \}$. Altså fås:

$$(\sqrt{Z_\phi})^N \mu \frac{d}{d\mu} \Gamma_0^{(N)} = 0$$

\Downarrow

RGE:

$\left\{ \mu \frac{\partial}{\partial \mu} + \beta(\lambda) \frac{\partial}{\partial \lambda} - N \gamma(\lambda) \right\} \Gamma^{(N)}(p_i, \lambda, \mu) = 0$

(98)

hvor

$$\beta(\lambda) \equiv \mu \frac{\partial \lambda}{\partial \mu}, \quad \gamma(\lambda) = \mu \frac{\partial}{\partial \mu} (\ln \sqrt{Z_\phi}) \quad (99)$$

Da RGE er ei diff. likning for den renormaliserte $\Gamma^{(N)}$ kan β og γ ikke avhenge av Λ . Da β og γ er dimensjonslause og Λ/μ er det eneste dimensjonslause forhold som kan dannes ved hjelp av μ , så må β og γ være uavhengige av Λ/μ dvs.:

β og γ er bare funksjon av λ !

Dette gjør RGE nyttig. RGE forteller hvordan $\Gamma^{(N)}$ oppfører seg når renormaliseringspunktet μ varieres.

Propagator:



$$[\Gamma^{(2)}(p)]_{p^2 = -\mu^2} = -\mu^2$$

Vertex:



$$[\Gamma^{(4)}(p_1 p_2 p_3 p_4, \lambda)]_{p_i = p_i^0} = \lambda$$

Fig. 16

$$(p_i^0 \cdot p_j^0 = -\mu^2 (\delta_{ij} - \frac{1}{4}))$$

Vi renormaliserer i Euklidisk (dvs. ikke-fysisk) område for å unngå terskelproblemer.

RGE transformasjon:

$$\mu \rightarrow \bar{\mu} = \bar{\mu}(t) = e^t \mu \Rightarrow \lambda = \lambda(\mu) \rightarrow \lambda(\bar{\mu}) \equiv \bar{\lambda}(t) \quad (100)$$

hvor $\bar{\lambda}(t)$ kalles den effektive koplinga. Betrakter så en "invariant ladning" (G inneholder ikke \bar{Z}_4):

$$G \equiv \frac{\Gamma^{(4)}(p_1 p_2 p_3 p_4)}{\prod_{j=1}^4 [\Gamma^{(2)}(p_j)]^{y_j}} \prod_{j=1}^4 (p_j^2)^{y_j} \quad (101)$$

som tilfredsstiller

$$(\mu \frac{\partial}{\partial \mu} + \beta \frac{\partial}{\partial \lambda}) G(\lambda, \mu) = 0 \quad (102)$$

(tilsvarende likning fås for $\mu \rightarrow \bar{\mu}, \lambda \rightarrow \bar{\lambda}$). Dette betyr at $G(\lambda, \mu) = G(\bar{\lambda}, \bar{\mu})$ og dermed:

$$0 = \frac{d}{dt} G(\lambda, \mu) = \frac{d}{dt} G(\bar{\lambda}, \bar{\mu}) \equiv \left(\frac{\partial \bar{\mu}}{\partial t} \frac{\partial}{\partial \bar{\mu}} + \frac{\partial \bar{\lambda}}{\partial t} \frac{\partial}{\partial \bar{\lambda}} \right) G(\bar{\lambda}, \bar{\mu})$$

Da $\frac{\partial \bar{\mu}}{\partial t} = \bar{\mu}$ må

$$\boxed{\frac{\partial \bar{\lambda}}{\partial t} = \beta(\bar{\lambda})} \quad (103)$$

dvs. den effektive kopplinga er bestemt av β -funksjonen:

$$\int_{\lambda}^{\bar{\lambda}(t)} \frac{dx}{\beta(x)} = t \quad (104)$$

(For ϕ^4 teori er $\beta(\lambda) = \frac{3\lambda^2}{16\pi^2} + \mathcal{O}(\lambda^3)$).

Med $\mu \rightarrow \bar{\mu} = e^t \mu, \lambda \rightarrow \bar{\lambda}(t)$ blir $\frac{d}{dt} = \bar{\mu} \frac{\partial}{\partial \bar{\mu}} + \beta(\bar{\lambda}) \frac{\partial}{\partial \bar{\lambda}}$
slik at RGE likninga (98) blir omforma til:

$$\left\{ \frac{d}{dt} - N \gamma(\bar{\lambda}(t)) \right\} \Gamma^{(N)}(p_i, \bar{\lambda}, \bar{\mu}) = 0 \quad (105)$$

$$\Rightarrow \Gamma^{(N)}(p_i, \bar{\lambda}, \bar{\mu}) = \Gamma^{(N)}(p_i, \lambda, \mu) \exp \left\{ N \int_0^t \gamma(\bar{\lambda}(t')) dt' \right\} \quad (106)$$

Dimensjonsanalyse av $\Gamma^{(N)}$ gir

$$\Gamma^{(N)}(p_i, \lambda, \mu) = \mu^{4-N} f^{(N)}\left(\frac{p_i \cdot p_j}{\mu^2}, \lambda\right) \quad (107)$$

$$\Rightarrow \Gamma^{(N)}(e^t p_i, \lambda, \mu) = e^{t(4-N)} \Gamma^{(N)}(p_i, \lambda, e^{-t} \mu) \quad (108)$$

Ved å kombinere (106) og (108) fås

$$\Gamma^{(N)}(e^t p_i, \lambda, \mu) = \Gamma^{(N)}(p_i, \bar{\lambda}(t), \mu) \exp\left\{(4-N)t - N \int_0^t \gamma(\bar{\lambda}(t')) dt'\right\} \quad (109)$$

hvor vi har brukt $e^{-t} \bar{\mu} = \mu$.

Altså: Skalering av impulsene med faktoren e^t kompenseres med en endring av kopplinga $\lambda \rightarrow \bar{\lambda}(t)$ og en faktor $\exp\{\gamma\}$ som inneholder den normale dimensjonen $(4-N)$ og den anomale dimensjonen $\gamma(\lambda)$

RGE for QCD

QCD inneholder både Fermion (dvs. kvark) - og Boson (- dvs- gluon) -felter. Disse får nå hver sin anomale dimensjon γ_F og γ_B :

$$\left\{ \mu \frac{\partial}{\partial \mu} + \beta(g) \frac{\partial}{\partial g} + N_F \gamma_F(g) + N_B \gamma_B(g) \right\} \Gamma^{(N_F, N_B)}(p_i, g, \mu) = 0 \quad (110)$$

(Dette gjelder for masselause kvarker i Landau-gauge).

Invers bosonpropagator (renormalisert):

$$\left[\Gamma^{(0,2)}(p) \right]_{p^2=\mu^2}^{\alpha\beta} = \left[(\sqrt{Z_B})^2 \Gamma_0^{(0,2)} \right]_{p^2=\mu^2}^{\alpha\beta} = p^\alpha p^\beta - g^{\alpha\beta} p^2 \quad (111)$$

$$\text{Diagram: } \text{---} \text{---} \text{---} = \text{---} \text{---} \text{---} + \text{---} \text{---} \text{---} \text{---} + \text{---} \text{---} \text{---} \text{---}$$

$$+ \text{---} \text{---} \text{---} \text{---} \text{---} \text{---} + \mathcal{O}(g^4)$$

↑ ("Fadeev-Popov ghost")

For vilkårlig P fås i "leading log" -approksimasjonen:

$$\Gamma^{(0,2)}(p)^{\alpha\beta} = (p^\alpha p^\beta - g^{\alpha\beta} p^2) \left\{ 1 + d_B g^2 \ln(-\frac{P^2}{\mu^2}) + \mathcal{O}(g^4) \right\} \quad (112)$$

Tilsvarende for invers Fermionpropagator:

$$[\Gamma^{(2,0)}(p)]_{p^2=-\mu^2} = [(\sqrt{Z_F})^2 \Gamma_0^{(2,0)}(p)]_{p^2=-\mu^2} = \gamma \cdot p \quad (113)$$

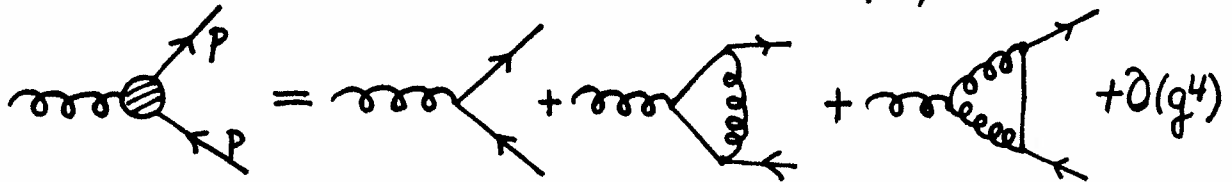


For vilkårlig p :

$$\Gamma^{(2,0)}(p) = \gamma \cdot p \left\{ 1 + d_F g^2 \ln\left(-\frac{p^2}{\mu^2}\right) + O(g^4) \right\} \quad (114)$$

For qGq vertex:

$$[\Gamma^{(2,1)}(p, p, k)]_{k=0; p^2=-\mu^2}^{\mu, a} = [(\sqrt{Z_F})^2 (\sqrt{Z_B}) \Gamma_0^{(2,1)}]_{k=0; p^2=-\mu^2}^{\mu, a} = g \gamma^\mu t^a \quad (115)$$



$$\Gamma^{(2,1)}(p, p, k)_{k=0}^{\mu, a} = g \gamma^\mu t^a \left\{ 1 + d_V g^2 \ln\left(-\frac{p^2}{\mu^2}\right) + O(g^4) \right\} \quad (116)$$

I Landau-gauge blir:

$$d_F = 0, d_B = \frac{1}{16\pi^2} \left(\frac{13}{6} C_1 - \frac{4}{3} C_2 \right), \quad d_V = \frac{1}{16\pi^2} \left(-\frac{3}{4} C_1 \right) \quad (117)$$

hvor $C_1 \delta_{ab} = f_{abc} f_{bcd}$ og $C_2 \delta_{ab} = N_f \text{Tr}(t^a t^b)$;

N_f = antall "flavours". (For SU(3)_{farge} er $C_1 = 3, C_2 = \frac{1}{2} N_f$)

Puttes uttrykka for $\Gamma^{(0,2)}(p)^{\alpha\beta}, \Gamma^{(2,0)}(p)$ og $\Gamma^{(2,1)}(p, p, k)_{k=0}^{\mu, a}$

inn i RG-likningene har en tre likninger for å bestemme γ_F, γ_B og β .
En finner

$$\gamma_F = d_F g^2 + \partial(g^4), \gamma_B = d_B g^2 + \partial(g^4), \beta = (2d_V - d_B) g^3 + \partial(g^5) \quad (118)$$

For $SU(3)$ farge fås

$$\beta(g) = -b g^3 + \partial(g^5) ; b = \frac{1}{16\pi^2} \left(11 - \frac{2}{3} N_f \right) \quad (119)$$

For den effektive koplinga $\bar{g}(t)$ gjelder

$$\frac{\partial \bar{g}}{\partial t} = -b \bar{g}^3 + \partial(\bar{g}^5) \Rightarrow \bar{g}^2 = \frac{g^2}{1 + 2b g^2 t} \quad (120)$$

for store t . Dette gir $\bar{g} \rightarrow 0$ når $t \rightarrow \infty$ for $b > 0$.

For store impulser Q , velg $t = \frac{1}{2} \ln \frac{Q^2}{\mu^2}$ ($\Rightarrow \bar{\mu} = e^t \mu = Q$):

$\xrightarrow{t \rightarrow \infty}$

$$\alpha_s(Q^2) = \frac{\alpha_s(\mu^2)}{1 + \frac{\alpha_s(\mu^2)}{4\pi} b \ln \frac{Q^2}{\mu^2}} \equiv \frac{4\pi}{b \ln \frac{Q^2}{\mu^2}} \quad (121)$$

hvor $\hat{b} \equiv 16\pi^2 b = 11 - \frac{2}{3} N_f$. Eksperimentelt er $\Lambda \sim 100 - 400$ MeV
(Avhengig av renormaliseringsprosedyre og eksperimentell situasjon).

Den typiske eksponentialet faktoren (se (106)) i RGE blir:

$$\exp \left\{ \int_0^t dt' \gamma_B(\bar{g}(t')) \right\} = (1 + 2b g^2 t)^{\frac{ds}{2b}} = \left(\frac{\alpha_s(\mu^2)}{\alpha_s(Q^2)} \right)^{\frac{ds}{2b}} \sim \left(\ln \frac{Q^2}{\mu^2} \right)^{\frac{ds}{2b}} \quad (122)$$

for $Q \rightarrow \infty$. Etter dette blir f.eks.

$$[\Gamma^{(0,2)}(p)]_{RGE}^{\alpha\beta} = (p^\alpha p^\beta - p^2 g^{\alpha\beta}) \left\{ 1 + b [g(\mu^2)]^2 \ln \left(-\frac{p^2}{\mu^2} \right) \right\} \frac{ds}{b} \quad (123)$$

for $(-\frac{p^2}{\mu^2}) \ll 1$